



FOTOS 1 y 2.- Fangos arcósicos y arcosas de "F. Pedraja" con procesos de hidromorfismo. A techo, arenas eólicas que se introducen en las grietas del sustrato.



FOTOS 10 y 11.- Paleocanales y fangos de la "F. Cabezón".

FOTOS 10 y 11.- Paleocanales y fangos de la "F. Cabezón".





FOTO 12.- Detalle de las secuencias granodecrescentes de un paleocanal de la "F. Cabezón".



FOTO 13.- Tránsito de la "F. Cabezón" a la "F. de las Cuestas"  
mediante niveles de fangos oscuros.(ciénagas).



FOTO 14.- Fangos ocres con procesos de hidromorfismo a techo de la "F. Tierra de Campos".



FOTO 15.- Tránsito de la "F. Cabezón" a la "F. de las Cuestas" media nte niveles de fangos oscuros. (ciénagas).



FOTO 16.- 1: "F. Cabezón". 2: Niveles de "ciénagas". 3: "F. de las Cuestas".



FOTO 17.- 1: "F. Cabezón". 2: "F. de las Cuestas". 3: "Superficie multipoligénica del Páramo".



FOTO 18.- Panorámica de la "F. de las Cuestas" y la "Superficie multipoligénica del Páramo".



FOTO 19.- Calizas y margas con pseudomorfos de cristales de yeso  
de la unidad de transición a las calizas de la superficie del páramo.

FOTOS 1 y 2.- Fangos arcósicos y arcosas de "F. Pedraja" con procesos de hidromorfismo. A techo, arenas eólicas que se introducen en las grietas del sustrato.



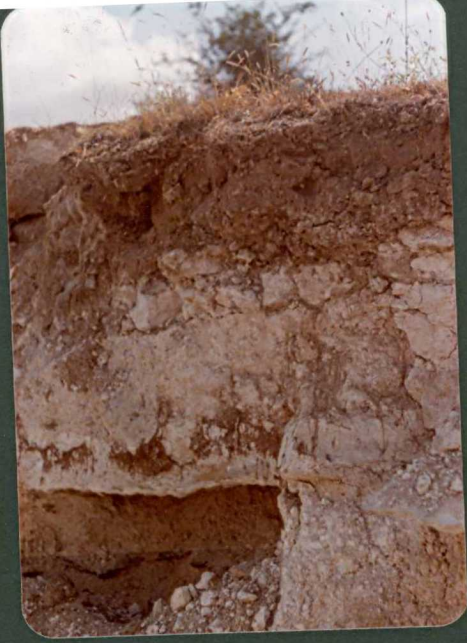


FOTO 20.- Suelo pardo calizo sobre las calizas de la unidad de transición a las calizas con Gasterópodos de la superficie del páramo.

FOTO 21.- Calizas de La unidad anterior con bases muy irregulares.





FOTO 22.- Pseudomorfosis de yeso en las calizas de la misma unidad.

FOTO 23.- Moldes de grietas de retracción en las calizas de la unidad de tránsito a la serie carbonatada de la superficie del páramo.





FOTOS 24 y 25.- Terraza ( $Q_1$  TD<sub>14</sub>) del río Duero. Suelo rojo con horizonte ( $B_t$ ) de iluviación de arcilla.

FOTOS 24 y 25.- Terraza ( $Q_1$  TD<sub>14</sub>) del río Duero. Suelo rojo con horizonte ( $B_t$ ) de iluviación de arcilla.

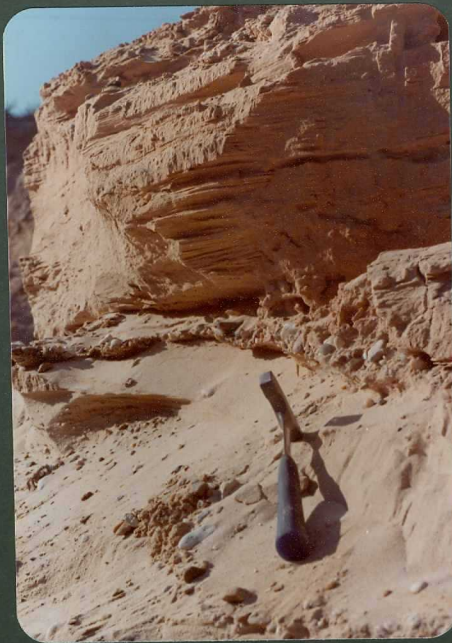




FOTO 26.- Terraza ( $Q_1 TD_{12}$ ) del río Duero. A techo horizonte de lavado de arcilla que deja la arena en disposición de ser transportada por el viento.



FOTO 27.- Terraza (Q TD ) del río Duero.  
1 11



FOTOS 28 y 29.- Terraza ( $Q_1^{TD} Q_{12}$ ) del río Duero, de arenas con niveles de gravas de cuarcita.

FOTOS 28 y 29.- Terraza ( $Q_1$  TD  $12$ ) del río Duero, de arenas con niveles de gravas de cuarcita.



FOTO 3.- Canal de arcosas en la "F. Pedraja".





FOTOS 30 y 31 •- Arenas eólicas. Sección de una duna.

FOTOS 30 y 31 .- Arenas eólicas. Sección de una duna.





FOTO 4.- Tránsito de la "F. Pedraja" a las margas y arcillas grises de la "F. Dueñas".



FOTO 5 y 6.- Margas y arcillas grises de la "F. Dueñas", en tránsito a los paleocanales y fangos ocres de la "F. Cabezón".

FOTO 5 y 6.- Margas y arcillas grises de la "F. Dueñas", en  
tránsito a los paleocanales y fangos ocres de la  
"F. Cabezón".





FOTO 7.- Pale ocanal de arena en la "F. Cabezón".



FOTO 8.- Fangos ocres sobre los canales de la "F. Cabezón".



FOTO 9.- Detalle de los fangos intercala dos entre los canales de la "F. Cabezón".